

C. Márquez - D. Ojeda
Editores científicos

Escultura romana en Hispania

VIII

Homenaje a Luis Baena del Alcázar

ESCULTURA ROMANA EN HISPANIA VIII

Actas de la VIII Reunión Internacional de Escultura Romana en Hispania celebrada en la Universidad de Córdoba y Baena los días 5 al 8 de octubre de 2016.

ORGANIZACIÓN

Universidad de Córdoba y Ayuntamiento de Baena. Colabora: Museo Arqueológico de Córdoba.

Comité científico

Dra. Pilar León-Castro. Universidad de Sevilla

Dra. Trinidad Nogales. Museo Nacional de Arte Romano

Dra. Isabel Rodá, Universitat Autònoma de Barcelona

Dra. Eva Koppel, Universitat Autònoma de Barcelona

Dra. Montserrat Clavería. Universitat Autònoma de Barcelona

Dr. Pedro Rodríguez. Universidad de Málaga

Dr. José Beltrán. Universidad de Sevilla

Dr. Luis Baena. Universidad de Málaga

Dr. José Miguel Noguera. Universidad de Murcia

Dr. Luis Jorge Gonçalves. Universidad de Lisboa

Dr. Walter Trillmich. Instituto Arqueológico Alemán

Dr. Markus Trunk. Universidad de Trier

Comité organizador

Dr. Carlos Márquez. Universidad de Córdoba

Dr. David Ojeda. Universidad de Córdoba



Fotografía de los participantes en el Museo Histórico de Baena

Índice

Introducción	15
- J. Beltrán. Semblanza de Luis Baena del Alcázar.....	17
Aspectos generales	21
- A. Cristilli. Un inedito ritratto di Caligola dalla Villa della gens Volusia a Lucus Feroniae.....	23
- F. Filippi. Campo Marzio: documenti scultorei nella zona degli stabula delle fazioni circensi.....	39
- V. Gaggadis - Robin. Les rencontres autour de la sculpture romaine	57
- V. Hoft. Die Augen der alten Republikaner.....	73
- P. León. La singularidad del arte adrianeo	89
- P. Liverani, U. Santamaria, G. Verri. La quarta dimensione della scultura: il colore	107
- M. Trunk. Cabezas de Atenas en el Museo Arqueológico Nacional de Madrid	125
- S. Vidal. Los sarcófagos tardoantiguos de Hispania: nuevos datos a partir de los analisis arqueométricos de los sarcófagos del Museo Arqueológico Nacional	143
- H. von Hesberg. Immagini e iscrizioni. Le stele di legionari e ausiliari nelle province romane.....	163
Tarraconense.....	187
- F. Arasa. Tres esculturas de la colección Miguel Martí Esteve (Valencia)	189
- M. Burón, M. Barrera, I. Sánchez, A. Plaza, C. Escudero, J. L. Alonso, P. P. Pérez, J. V. Navarro. Caracterización y recreación de la policromía de la escultura “Diosa Fortuna” procedente del teatro romano de Clunia (Burgos)	209
- M. Claveria, I. Moreno. Arqueología y Conservación. Análisis complementarios para la interpretación de cinco retratos del Museu D’Arqueologia de Catalunya.....	217
- D. López. Ciclos dinásticos altoimperiales presentes en foros y teatros de la Hispania Citerior: evidencias escultóricas y epigráficas. Estudio preliminar.	245
- M. L. Loza, J. M. Noguera. Las estatuas-fuentes de la villa romana de Los Cantos (Bullas, Murcia): informe preliminar.....	253
- M. Moreno. Retratos en piedra local de la zona nororiental.....	279

Edición y coordinación: Carlos Márquez y David Ojeda

Edita:
UCOPress, Editorial Universidad de Córdoba, 2018
Campus Universitario de Rabanales
Ctra. Nac, IV, km. 396. 14071 Córdoba
www.uco.es/ucopress
ucopress@uco.es

ISBN: 978-84-9927-378-5
Depósito Legal: CO-513-2018

Diseño e impresión: Impresiones Guadajoz, S.L.L.

Cualquier forma de reproducción, distribución, comunicación pública o transformación de esta obra sólo puede ser realizada con la autorización de sus titulares, salvo excepción prevista por la ley. Diríjase a CEDRO (Centro Español de Derechos Reprográficos, www.cedro.org) si necesita fotocopiar o escanear algún fragmento de esta obra.

Impreso en España

- J. M. Noguera, L. Ruiz. El retrato de Adriano de la villa de Los Torrejones (Yecla, Murcia) y su contexto arqueológico.....	299
- J. F. Palencia. Las esculturas de ámbito público y privado del municipio romano de Consabvra (Consuegra, Toledo).....	319
- I. Rodà, E. Hinojo, C. Miró. Un nuevo retrato de Barcino y su contexto arqueológico.....	337
- P. Rodríguez. Una nueva copia romana del “Narciso”/“Jacinto” de Policeto encontrada en una villa de la provincia de Toledo	351
- L. Romero, J. Andreu. El programa escultórico del foro de la ciudad romana de Los Bañales: novedades y aspectos iconográficos, programáticos e históricos	365
- I. Sánchez, J. Morín, R. Barroso, E. J. Navarro, A. Ribera. La decoración arquitectónica de la residencia de Pla de Nadal (Ribarroja del Turia, Valencia).....	389
Lusitania.....	403
- N. Barrero. Plástica tardoantigua en Augusta Emerita. A propósito de las cruces gemadas en piedra de la escultura visigoda emeritense	405
- L. Fernandes, T. Nogales. Teatro romano de Olisipo: programas decorativos teatrales de Lusitania	431
- L. J. Gonçalves. Sob o signo da fertilidade: a ideologia das esculturas da época de Augusto na Lusitânia Ocidental: devoção privada e programas públicos.....	457
- J. Lehmann. Lenguaje imperial. El diálogo entre la decoración arquitectónica y escultórica de un edificio monumental en Pax Iulia (Beja)	479
- C. Matos. A fisionomia dos retratos de Augusto na Lusitânia ocidental.....	499
- T. Nogales, M. J. Merchán. Teatro romano de Metellinum: programa escultórico - decorativo	527
- M. Salinas, M. C. Jiménez, T. Nogales. Personaje togado y espacio público de Salmantica	553
Bética.....	577
- J. A. Garriguet. Un posible retrato de Adriano en el Palacio de Viana (Córdoba)	579
- I. López, J. Beltrán. Esculturas reencontradas. Un conjunto de la Colonia Iulia Genetiva (Osuna, Sevilla)	597
- M. L. Loza, J. Beltrán. Dos estatuas femeninas de Celti (Peñaflor, Sevilla)	625
- C. Marcks-Jacobs. Consideraciones sobre un posible monumento conmemorativo de comienzos de época augustea en la región de Estepa	649

- C. Márquez, J. A. Morena. Divus Augustus Pater hallado en la Prouincia Baetica.....	673
- D. Ojeda. ¿Hispania, Venus, ninfa o sirena? Sobre una estatua femenina procedente de Munigua.....	691
- A. Peña. Representaciones militares en los hermas de pequeño formato de la Bética.....	705
- A. Portillo. Nuevos fragmentos escultóricos de los fora de Colonia Patricia.....	721

Apéndice.....731

- A. Ventura, L. Fernández. El color de la imagen imperial en Torreparedones: estudio de la policromía en las estatuas sedentes del foro.....	733
---	-----

Figuras en color.....753

- P. Liverani, U. Santamaria, G. Verri.....	754
- S. Vidal.....	759
- M. Burón, M. Barrera, I. Sánchez, A. Plaza, C. Escudero, J. L. Alonso, P. P. Pérez, J. V. Navarro.	769
- A. Peña	774
- A. Ventura, L. Fernández.....	782

Los sarcófagos tardoantiguos de Hispania: nuevos datos a partir de los análisis arqueométricos de los sarcófagos del Museo Arqueológico Nacional

Sergio Vidal Álvarez
Museo Arqueológico Nacional, Madrid ¹

I. Antecedentes

Los estudios dedicados a la escultura de sarcófagos de época tardoantigua de la península Ibérica, cuentan con una dilatada tradición historiográfica que, hasta hace relativamente escaso tiempo, se ha basado en aspectos de índole iconográfica, estilística y formal, apenas considerando los aspectos relacionados con la caracterización del material de las piezas. Como ya hemos recogido en otro lugar², una de las primeras iniciativas en este sentido fue llevada a cabo en 1970 por M. Sotomayor³, quien envió una serie de muestras –entre las que no se encontraba ningún ejemplar del MAN- al *Comitato per lo Studio del Marmo e della Pietra nell'Antichità*, en Roma, donde fueron analizadas macroscópicamente por J.B. Ward-Perkins⁴. Hasta los años 90 del

¹ Jefe Departamento de Antigüedades Medievales, Museo Arqueológico Nacional, c/ Serrano 13, 28001, Madrid, sergio.vidal@mecd.es. El presente estudio y las analíticas de los materiales se han llevado a cabo en el marco del proyecto de investigación I+D+i HAR2013-4497P, dirigido por V. García-Entero.

² Vidal, García-Entero y Gutiérrez 2017.

³ Sotomayor 1973: 13-19; Id. 1975: 230-231, recopilando los principales estudios anteriores sobre la materia. Sotomayor remarca la importancia de realizar análisis de los mármoles para el estudio de los sarcófagos romano-cristianos, pero también la gran dificultad existente en aquel momento para llevar a cabo este tipo de estudio en la totalidad de piezas.

⁴ Sotomayor 1973: 13-19; Id. 1975: 230-231. Sotomayor argumenta la dificultad de aceptar los resultados de algunos análisis –que fueron llevados a cabo exclusivamente mediante métodos macroscópicos-, especialmente en los casos de mármol de Saint-Béat, es decir, el sarcófago

siglo XX no encontramos, sin embargo, análisis petrográficos de carácter verdaderamente científico, como los publicados por I. Rodà en 1990 sobre un grupo de sarcófagos cristianos hallados en *Tarraco* encabezados por el sarcófago de *Leucadius*, obrados en la caliza del golfo de Túnez *Kadeš*; o los análisis efectuados a tres importantes sarcófagos del siglo IV de la provincia de Zaragoza, cuyo material empleado no es el alabastro local como se había afirmado previamente, sino mármoles de las canteras del Proconeso, Paros y Luni-Carrara⁶. Sin ánimo de ser exhaustivos en este recorrido, cabe hacer también mención a los análisis llevados a cabo a piezas halladas en campañas de excavación llevadas a cabo a lo largo de las últimas décadas, tales como los diversos de los fragmentos de Carranque (Toledo), obrados en mármoles de Paros, Proconesio y Estremoz -permitiendo concluir la presencia de sarcófagos tardoantiguos tanto importados de Roma como obrados por talleres hispanos⁷, o el más recientemente hallado fragmento de Begastri (Cehegín, Murcia), cuyos análisis apuntan hacia el mármol de Luni-Carrara⁸. Del mismo modo, en los últimos años han sido también analizadas diversas piezas ya conocidas desde décadas -o incluso siglos- como el sarcófago de *Ithacius* de la catedral del Oviedo, o el de Pueblanueva (Toledo) del Museo Arqueológico Nacional (en adelante MAN) -sobre el que habremos de volver más adelante-, dando como resultado en ambos casos mármol procedente de las canteras de Estremoz (Portugal)⁹.

Los análisis que ahora presentamos se suman, pues, al elenco cada vez más nutrido de sarcófagos de la *Hispania* de los siglos IV-V d.C. caracterizados arqueométricamente.

de la “Hostería del Sable” de Barcelona y el de Los Palacios (Sotomayor 1975: 79-82 y 129-121, respectivamente). Como se demostrará posteriormente para la pieza barcelonesa a través de análisis arqueométricos, en efecto, no estamos ante mármol de Sain-Béat, sino Proconesio (Rodà 2002: 180-182). Sería sumamente interesante que se pudieran acometer análisis para la pieza de Los Palacios que, sospechamos, confirmarían la duda planteada por Sotomayor, dando como resultado algún mármol mediterráneo, no pirenaico.

⁵ Rodà 1990 y 1998: 158-161. Para los sarcófagos de este mismo material hallados en el entorno de Cartago Christern-Briesenick 2003: 288-293, n. 627-631, 633-636, 640-641. Posteriormente son hallados nuevos fragmentos de este mismo grupo en Terrassa (Barcelona), la antigua Egara (Claveria, Moro y Rodà 2008: 138-140).

⁶ Lapuente et alii 1996, concluyendo que estamos ante mármol proconesio para el sarcófago de la *Receptio Animae*, de Paros para el de “Santa Engracia” o sarcófago de la trilogía petrina, y de Luni-Carrara para la pieza de Castiliscar.

⁷ Vidal 2005: 247-273 nota 20; Fernández Ochoa et alii 2011; García-Entero y Vidal 2012; Vidal, García-Entero y Gutiérrez 2017.

⁸ Noguera y Molina 2015.

⁹ Vidal, García-Entero y Gutiérrez 2017.

II. Análisis arqueométricos de los sarcófagos tardoantiguos del Museo Arqueológico Nacional

En los años 2011 y 2013 se efectuó la toma de muestras a un total de diez piezas del MAN¹⁰, que fueron remitidas para su análisis al Institut Català d'Arqueologia Clàssica (en adelante ICAC) de Tarragona donde, además del equipo instrumental requerido, se cuenta con una excelente litoteca de referencia de los principales tipos de *marmor* empleados en la Antigüedad, así como una base de datos que aglutina las informaciones de la Universidad Autónoma de Barcelona y la Universidad de Zaragoza. Siguiendo la metodología y estudio muti-método que caracteriza a la Unidad de Estudios Arqueométricos del ICAC: microscopía óptica de luz polarizada -MO- y catodoluminiscencia -CL-, los análisis fueron llevados a cabo en 2012 y 2016. En 2015 y 2016, el ICAC remite muestras de las mismas piezas al Istituto di Geologia Ambientale e Geoingegneria del CNR (Roma) para la realización de los análisis de espectrometría de masas de relaciones isotópicas -IRMS- de carbono ($\delta^{13}\text{C}$) y oxígeno ($\delta^{18}\text{O}$)¹¹.

2. 1- Fragmento de sarcófago de Ilici (Elche, Alicante), MAN 50208 (Fig. color 1)

Fragmento de cubierta de sarcófago hallado en la antigua *Ilici*, procedente de la colección de Aureliano Ibarra y Manzoni, ingresando en el MAN en 1891. Pieza obrada por los talleres de Roma en época tetrárquica, a caballo entre finales del siglo III e inicios del IV d.C., que representa una serie de personajes barbados, identificables como filósofos, en actitudes de diálogo y lectura¹².

¹⁰ Agradecemos el apoyo prestado en el proceso de toma de muestras a M.A. Navarro García (mayo 2011), M. Morales Molera (abril y julio 2013) y a J.L. Román Bartolomé (agosto 2013). Ha sido especialmente valiosa la revisión macroscópica efectuada por A. Gutiérrez García-Moreno en el MAN en julio de 2014.

¹¹ Informes ICAC: Rodà et alii 2016 para la petrografía (MO) y catodoluminiscencia (CL) del sarcófago de Pueblanueva. Álvarez et alii 2015, para el análisis de isótopos (IRMS) del mismo sarcófago. Rodà et alii 2016, para los análisis (MO, CL e IRMS) de las nueve piezas restantes que incluimos en el presente estudio. Quiero agradecer especialmente a la Profa. P. Lapuente Mercadal la valiosa revisión realizada a los citados análisis del ICAC, así como los oportunos comentarios formulados sobre cada una de las muestras analizadas.

¹² Dimensiones (en cm): 32 alto, 43 ancho, 13 grosor. Expediente de ingreso MAN 1891/10. Noguera y Verdú 1993-94: 284, n° 96, Fig. color 9.1 y lám. 13, con la bibliografía anterior; Ewald 1999: Cat. I21 y lám. 104,2.

Caracterización arqueométrica¹³: mármol gris claro, de grano medio-grueso con un tamaño máximo del grano de 1,5 mm. Presenta cierta fetidez. De composición mayoritariamente calcítica, con una fábrica anisótropa marcada por la presencia de un vetado composicional discontinuo de dolomita y una textura heteroblástica bimodal muy marcada o en “core-mantle”. Los contactos intercristalinos son predominantemente suturados (ocasionalmente interpenetrados), con maclas tabulares gruesas y presencia ocasional de maclas deformadas como signo de una deformación intracristalina incipiente. Como mineral accesorio destacan los pequeños cristales de dolomita. Ocasionalmente se identifican pequeños minerales opacos, presumiblemente grafito disperso de morfologías irregulares. La catodoluminiscencia es homogénea, de tonalidad castaño oscuro e intensidad muy débil. Presenta un valor isotópico positivo de 3,7‰ en $\delta^{13}\text{C}$ y un valor negativo de -1,9‰ en $\delta^{18}\text{O}$, compatibles con las relaciones isotópicas del mármol Proconeso-1 y del de Saint-Béat, estando próximos al límite del campo de distribución del Tasos-1.

Las características petrográficas permiten excluir el último mármol indicado, mientras que desde un punto de vista escultórico, la pieza muestra los parámetros propios de la escultura romana de cubiertas de sarcófagos (Ewald, 1999, 211-223), pudiendo descartar su elaboración por talleres de regiones como la pirenaica y la aquitana, y con ello, consideramos, descartar el mármol de Saint-Béat (Midi-Pyrénées, Francia), no empleado por las oficinas metropolitanas. El trabajo escultórico de los talleres de sarcófagos pirenaicos/aquitanos que sí emplearon el mármol de Saint-Béat es, sin embargo, característico y diferenciado del de los talleres de Roma (*vid infra*).

A pesar de no poder presentar un resultado final decisivo, sin perjuicio de que se puedan realizar posteriores análisis y se produzca un avance en el estudio y caracterización de los mármoles grises, los datos actuales hacen plausible pensar que en este caso nos encontremos ante mármol Proconeso (Isla de Mármara, Turquía).

2.2.- Sarcófago de Astorga (León), MAN 50310 (Fig. color 2)

Caja de sarcófago completa procedente de Catedral de Astorga, desde donde es adquirida para el MAN en 1869. Algunos cronistas le otorgaron un supuesto origen en la cercana población de San Justo de la Vega, afirmándose también que sirvió de enterramiento temporal para el rey Alfonso III. Pieza de taller romano datada hacia el 310 –anterior por tanto al Edicto de Milán-, cuyo frente se decora íntegramente con escenas bíblicas. Así, de izquierda a derecha se representan: la resurrección de Lázaro, el arresto de Pedro, el milagro de la roca (Pedro en prisión hace manar agua, bautizando a dos

¹³ Rodà et alii 2016: 25-28, muestra MDR-1135.

soldados), Adán y Eva tras el Pecado Original, el milagro de la multiplicación de los panes y los peces y el sacrificio de Abraham. El mensaje general de la pieza es salvífico (escenas de Lázaro y Abraham), reforzado mediante alusiones sacramentales al bautismo (superación del Pecado Original gracias al bautismo del milagro de la roca) y la eucaristía (multiplicación de los panes y los peces)¹⁴.

Caracterización arqueométrica¹⁵: mármol blanco/grisáceo, de grano fino/medio con un tamaño máximo del grano de 1,6 mm, de composición calcítica. Su fábrica es isótropa de textura heteroblástica, los contactos intercristalinos suturados más o menos interpenetrados, con deformación intracristalina débil. No se observan minerales accesorios. Presenta fetidez. La catodoluminiscencia es homogénea de tonalidad castaño oscuro e intensidad muy débil. Presenta un valor isotópico positivo de 2,3‰ en $\delta^{13}\text{C}$ y un valor negativo de -2,9‰ en $\delta^{18}\text{O}$, compatibles con los valores de los mármoles Proconeso (Proconeso-1), Paros (Paros-2(3)) y Tasos (Tasos-2), situándose también al límite de los campos de los mármoles de Afrodiasias y Naxos.

La suma de los resultados permite discriminar los últimos mármoles, respondiendo las características de la muestra analizada a los mármoles Proconeso (Proconeso-1) y Paros (Paros-2(3)). La textura heteroblástica es común a ambos pero los contactos intercristalinos interpenetrados son más propios del mármol Proconeso. Este último dato, unido a las características visuales de la pieza y en especial la presencia de un bandeo paralelo y neto, apuntan únicamente hacia el mármol Proconeso (Isla de Mármara, Turquía).

2.3.- Sarcófago de Berja (Almería), MAN 1929/71/1 (Fig. color 3)

Caja de sarcófago completa, hallada en 1925 en una finca del término municipal de Berja, ingresando por compra en el MAN en 1929. Elaborada por los talleres metropolitanos de Roma en época constantiniana –hacia los años 325-335 d.C.-, representando en el frente, de izquierda a derecha, las escenas neotestamentarias de la resurrección de Lázaro; la entrada de Cristo en Jerusalén; la Orante femenina acompañada de dos figuras masculinas (¿apóstoles?); la triple negación de Pedro o “escena del gallo” y Pedro y Pablo conducidos ante Nerón para ser juzgados, esta última hasta el momento un *unicum* en el repertorio iconográfico de los sarcófagos tardoantiguos¹⁶.

¹⁴ Dimensiones (en cm): 73 alto, 244 ancho, 83 grosor. Expediente de ingreso MAN 1871/25. Sotomayor 1973: 25-30; Id. 1975: 47-56, con la bibliografía anterior; González García 1986; Palol 1994: 107-109; Koch 2000: 522.

¹⁵ Rodà et alii 2016: 33-36, muestra MDR-1137.

¹⁶ Dimensiones (en cm): 54 alto, 210 ancho, 60 grosor. Expediente de ingreso MAN 1929/71. Sotomayor 1973: 104-105; Id. 1975: 101-107, con la bibliografía anterior; Koch 2000: 522; Beltrán, García García y Rodríguez 2007: 101-101, n° 1.

En referencia al material, en un primer momento se indicó que podría tratarse de mármol de Macael (Almería), dando por sentado que fuera una obra de taller local (Martínez de Castro, 1925: 3), sin embargo, en ese mismo momento, se establece ya la correcta filiación romana de la pieza (Carriazo, 1925). En fecha más reciente y tomando como único argumento la singularidad iconográfica que supone la escena de Pedro y Pablo ante Nerón, se sugiere que pueda ser obra de un taller local (Koch, 2000: 522).

Caracterización arqueométrica¹⁷: mármol blanco (lechoso), con algunas pequeñas venas irregulares y aleatorias, de composición calcítica, fábrica isótropa y textura granoblástica poligonal y presencia de contactos intercrystalinos rectos sin deformación intracrystalina. Los cristales presentan un tamaño de grano fino, con un tamaño máximo del grano de 0,6 mm. No presenta minerales accesorios. La catodoluminiscencia es homogénea de tonalidad rojiza oscura e intensidad débil. Presenta un valor isotópico positivo de 2,1‰ en $\delta^{13}\text{C}$ y un valor negativo de -1,3‰ en $\delta^{18}\text{O}$, situando la muestra exclusivamente en el campo del mármol de Carrara.

Podemos concluir, por tanto, que el sarcófago de Berja está obrado en mármol de Carrara, uno de mármoles más frecuentemente utilizados en la elaboración de sarcófagos –junto al Proconeso y el Paros– por las oficinas metropolitanas y que hasta el momento no hemos constatado en la elaboración de sarcófagos por parte de los talleres hispánicos. Este hecho, creemos, confirma la elaboración romana de la pieza, tan acertadamente defendida, entre otros, por M. Sotomayor.

2.4.- Fragmento con escena de Daniel en el foso de los leones, MAN 1997/83/1 (Fig. color 4)

Pequeño fragmento de cubierta de sarcófago de procedencia y fecha de ingreso en el MAN desconocidas. Elaborado por los talleres de Roma en época constantiniana -hacia 315-335 d.C.-, mostrando un león junto a parte de dos figuras masculinas, una de ellas con el pie desnudo, pertenecientes a la escena de Daniel en el foso de los leones¹⁸.

Caracterización arqueométrica¹⁹: mármol gris claro de grano medio-grueso, con un tamaño máximo del grano de 2,0 mm, de composición calcítica.

¹⁷ Rodà et alii 2016: 13-16, muestra MDR-1132.

¹⁸ Dimensiones (en cm): 23 alto, 24 ancho, 9 grosor. Sin expediente de ingreso MAN. Sotomayor 1973: 111; Id. 1975: 135, con la bibliografía anterior; Oepen 2001: 263, donde a pesar del trato superficial dado a todas las piezas, se compara la talla de este fragmento con la del hallado en el Cerro de la Almagra (Mula, Murcia). Para este último, Conde Guerri 1997, estudio en el que se identifica el material, a partir de unos análisis elaborados por R. Arana de la Universidad De Murcia –sin detallar la metodología seguida–, como mármol de Macael (Almería), resultado que, creemos, debería ser revisado a la luz de nuevas analíticas.

¹⁹ Rodà et alii 2016: 21-24, muestra MDR-1134.

Presenta cierta fetidez. Su fábrica es isótropa con una textura ligeramente heteroblástica y sus contactos intercrystalinos son lobulados o suturados, con maclas tabulares gruesas, sin rasgos que evidencien una deformación intracrystalina. No presenta minerales accesorios. La catodoluminiscencia es homogénea de tonalidad oscura -tiende al castaño oscuro- e intensidad muy débil. Presenta un valor isotópico positivo de 3,0‰ en $\delta^{13}\text{C}$ y un valor negativo de -2,1‰ en $\delta^{18}\text{O}$, compatibles con los valores del mármol de Paros-2(3), Proconeso (Proconeso-1), Tasos-1 y Saint-Béat.

Los datos aportados por los análisis no son del todo concluyentes, puesto que la muestra posee unas características petrográficas comunes a los mármoles de Paros, Proconeso y, en menor medida, Saint-Béat. Entre estas tres opciones, la textura y el tamaño del grano, la catodoluminiscencia baja, así como la ausencia de bandeados, hace que -en función de los datos hasta ahora disponibles y a falta de que en el futuro se pueda profundizar más en la caracterización de los mármoles grises-, la opción más plausible sea el mármol de Paros 2(3).

2.5.- Fragmento de sarcófago de Erustes (Toledo), MAN 1913/51/1 (Fig. color 5)

Fragmento del frente de un sarcófago hallado entre 1870 y 1875 en un inmueble de Erustes, en una de cuyas paredes estuvo empotrado un tiempo. Es vendido y posteriormente pasa en 1913 al MAN. La superficie está considerablemente erosionada, mostrando junto a un campo de estrigiles la parte superior de dos figuras masculinas, correspondientes a la escena de la triple negación de Pedro o “escena del gallo”, ave que aparecería en la zona inferior perdida. La pieza puede datarse en época tardoconstantiniana -hacia 330-340 d.C.-, siguiendo las pautas propias de los talleres de sarcófagos romanos del momento, si bien algún autor (Koch 2000: 524) ha sugerido su posible factura por un taller local hispánico²⁰.

Caracterización arqueométrica²¹: mármol blanco/grisáceo, calcítico, de grano medio-grueso (MSG de 2,7 mm), de textura heteroblástica bimodal, contactos intercrystalinos lobulados y suturados, sin deformación intracrystalina y sin minerales accesorios. Presenta cierta fetidez. Su catodoluminiscencia homogénea de tonalidad que tiende al castaño oscuro e intensidad extremadamente débil. Presenta un valor isotópico positivo de 3,2‰ en $\delta^{13}\text{C}$ y un valor negativo de -1,5‰ en $\delta^{18}\text{O}$, valores compatibles con las relaciones isotópicas de los mármoles de Proconeso (Proconeso-1), Tasos (Tasos-1) y Saint-Béat, situándose en el límite del campo del mármol de Paros (Paros-2(3)).

²⁰ Dimensiones (en cm): 44 alto, 89 ancho, 10 grosor. Expediente de ingreso MAN 1913/51. Sotomayor 1973: 85-86, Id. 1975: 143-145, con la bibliografía anterior; Koch 2000: 524.

²¹ Rodà et alii 2016: 9-12, muestra MDR-1131.

Las características petrográficas de la muestra analizada son únicamente coincidentes con las del mármol Proconeso y las del mármol de Saint-Béat, sin embargo, la presencia en la pieza de un bandeado paralelo de tonos grisáceos apunta claramente hacia la primera procedencia. A estos resultados se suma el dato de que la factura escultórica de la pieza no es coincidente con las producciones de los sarcófagos pirenaicos y aquitanos tardorromanos, pudiendo descartar el mármol del Saint-Béat²².

Por todo ello, creemos que la opción del mármol Proconeso es la más acertada, siendo éste uno de los mármoles más frecuentemente utilizados por los talleres de la *Urbs*, pero que, hasta el momento, no ha sido documentado en las producciones locales de sarcófagos de talleres como los pirenaicos o los hispánicos. De nuevo creemos que este resultado apunta firmemente hacia la elaboración romana de la pieza -tal y como bien defendiera, entre otros, M. Sotomayor- pudiendo descartar su pretendida ejecución por un taller local.

2.6.- Fragmento de sarcófago de Recópolis (Guadalajara) con torso, MAN 57846 (Fig. color 6)

Pequeño fragmento del frente de un sarcófago de mármol, mostrando parte del torso de una figura masculina que viste túnica y clámide. El tipo de surcos del trépano y su morfología apuntan hacia la producción de sarcófagos de los talleres de Roma de la primera mitad del siglo IV d.C., pudiendo corresponder la figura a un contexto iconográfico no cristiano, tal vez de *venatio*. La pieza fue hallada en las excavaciones efectuadas por Juan Cabré en 1945 en la ciudad de época visigoda de Recópolis (Zorita de los Canes, Guadalajara), mostrando una reutilización

²² En efecto, las producciones de sarcófagos en la zona pirenaica, utilizando el mármol del Saint-Béat, se centran para el siglo IV d.C. en el foco de Saint-Bertrand-de-Comminges (Midi-Pyrénées, Francia), la antigua Lugdunum Convenarum, correspondiendo a un tipo de piezas deudoras de las romanas coetáneas desde un punto de vista iconográfico y compositivo, pero con unas pautas escultóricas propias que las diferencia de aquéllas (Pulchra imago 1991; Cabanot y Costedoat 1993; Immerzeel y Jogste 1994: 238-239, 246; Christern-Briesenick 2003: 222-226, núms. 478-486, con la bibliografía anterior). Por otra parte, no se ha constatado la presencia en la península Ibérica de sarcófagos en mármol de Saint-Béat pertenecientes a los talleres de Lugdunum Convenarum. El uso de este mármol se atestigua posteriormente, en los siglos V-VI d.C., en la producción de los "sarcófagos aquitanos", cuyas características formales y figurativas son totalmente exclusivas de este grupo, muy alejadas ya de los cánones de las piezas romanas. Para esta producción de sarcófagos especialmente: Briesenick 1962 y su actualización en Christern-Briesenick 2003, así como Sarcophages d'Aquitaine 1991. En este caso sí se ha constatado un reducido número de piezas pertenecientes a estos talleres en la península Ibérica (Empúries y Lourenzá) que, como indicamos, siguen las pautas propias de los mismos, netamente diferenciadas de las de las piezas romanas del siglo IV d.C., así como de las hispánicas coetáneas. Por otra parte, para la cuestión de las piezas importadas de Roma a las Galias y la problemática en torno a los talleres gálicos locales, Immerzeel y Jogste 1994. Para los análisis del mármol en los sarcófagos de las regiones aquitana y narbonense, Cabanot y Costedoat 1993; Gaggadis-Robin 2000.

de una pieza tardorromana en un contexto de época visigoda, ingresando en el MAN en 1948²³.

Caracterización arqueométrica²⁴: mármol blanco muy claro, de grano medio/grueso, con un tamaño máximo del grano de 1,6 mm y composición calcítica. Presenta una fábrica isotropa de textura heteroblástica ligeramente bimodal. Las formas de sus contactos intercrystalinos son curvas o suturadas. Sus maclas tabulares gruesas presentan de forma ocasional una ligera deformación evidenciando un grado de deformación intracrystalina débil. No se observan minerales accesorios. La catodoluminiscencia es homogénea de tonalidad que tiende a marrón oscuro e intensidad muy débil. Presenta un valor isotópico positivo de 3,0‰ en $\delta^{13}\text{C}$ y un valor negativo de -1,2‰ en $\delta^{18}\text{O}$, valores particularmente compatibles los de los mármoles de Proconeso-1 y Tasos-1, además de situarse en los límites de los mármoles de Paros-2(3) y Saint-Béat. El hecho de que no muestre bandeados podría descartar la opción turca, y por el contrario los aspectos visuales de heterogeneidad cromática con cristales grises que destacan sobre el fondo cristalino blanco, vinculan la muestra con el mármol de Paros-2(3). La talla escultórica muestra, una vez más, vínculos con las producciones romanas pero no con las pirenaicas/aquitanas, siendo factible descartar el Saint-Béat (*vid. supra*). Por todo ello, se puede considerar el mármol de Paros-2(3) como la opción más plausible para esta pieza.

2.7.- Fragmento de sarcófago de Recópolis (Guadalajara) con ovino, MAN 57849 (Fig. color 7)

Pequeño fragmento del frente de un sarcófago, mostrando parte del cuerpo de un ovino que se dirige a la izquierda. Al igual que el fragmento anterior, el trabajo escultórico vincula la pieza con la producción de sarcófagos de los talleres de Roma, si bien su cronología podría ser algo anterior, a caballo entre los siglos III-IV d.C., correspondiendo tal vez a un contexto iconográfico de carácter pastoril, en todo caso, no perteneciente a un Buen Pastor. Fue hallada igualmente en las excavaciones de Juan Cabré de 1945 en Recópolis, ingresando en el MAN en 1948²⁵.

Caracterización arqueométrica²⁶: Mármol blanco de grano medio/grueso, con un tamaño máximo del grano de 1,8 mm, de composición calcítica, fábrica isotropa y textura heteroblástica bimodal. Los contactos intercrystalinos son curvos y suturados, sus maclas tabulares gruesas y presenta ausencia de deformación intracrystalina y de minerales accesorios. La catodoluminiscencia es homogénea de tonalidad con tendencia al marrón oscuro e intensidad muy baja. Presenta un

²³ Dimensiones (en cm): 15,5 alto, 21 ancho, 10 grosor. Expediente de ingreso MAN 1948/54. Vázquez de Parga 1967: 275; Balmaseda 2006a.

²⁴ Rodà et alii 2016: 37-40, muestra MDR-1138.

²⁵ Dimensiones (en cm): 20,5 alto, 25 ancho, 16 grosor. Expediente de ingreso MAN 1948/54. Vázquez de Parga 1967: 275; Balmaseda 2006b.

²⁶ Rodà et alii 2016: 41-43, muestra MDR-1139.

valor isotópico positivo de 2,8‰ en $\delta^{13}\text{C}$ y un valor negativo de -1,2‰ en $\delta^{18}\text{O}$, valores compatibles con los mármoles Proconeso (Proconeso-1), Tasos (Tasos-1) y Paros (Paros-2(3)), pero no con el Saint-Béat. Por todo ello y teniendo también en cuenta la presencia de pequeños cristales circulares grises sobre el fondo cristalino blanco, la opción más probable es que se trate de mármol de Paros-2(3).

2.8.- Fragmento ¿de sarcófago? de Recópolis (Guadalajara), MAN 1948/54/19 (Fig. color 8)

Fragmento de un relieve indeterminado, con restos de trépano, tal vez pertenecientes a la indumentaria de un personaje. Al igual que los dos fragmentos anteriores, fue hallada en 1945 en las excavaciones de Juan Cabré en Recópolis, ingresando en el MAN en 1948²⁷.

Caracterización arqueométrica²⁸: mármol blanco de grano fino, con un tamaño máximo del grano de tan solo 0,3 mm, de composición calcítica. Su fábrica es isotropa y textura granoblástica en mosaico cristalino. Los contactos intercrystalinos son principalmente curvos y suturados y el pequeño tamaño de grano no permite un buen desarrollo de maclas y exfoliaciones. No presenta deformación intracrystalina. Destaca la presencia de minerales opacos accesorios de pequeño tamaño, aislados y dispersos; junto con algún cristal aislado de mica blanca idiomorfa. La catodoluminiscencia es homogénea de tonalidad rojiza anaranjada e intensidad media, con los contactos cristalinos marcados por una luminiscencia de mayor intensidad. Presenta un valor isotópico positivo de 2,8‰ en $\delta^{13}\text{C}$ y un valor negativo de -5,4‰ en $\delta^{18}\text{O}$, valores compatibles con el mármol hispano de Estremoz y del mármol griego del Monte Pentélico.

Por sus características y a partir de la información hasta ahora disponible, no se puede identificar con certeza el tipo de mármol de la actual muestra. Petrográficamente no presenta los valores más característicos de los tipos de mármol con los que es compatible isotópicamente, Pentélico y Estremoz, mientras que su poco específica catodoluminiscencia, no ayuda tampoco a facilitar su identificación.

2. 9- Sarcófago de Pueblanueva (Toledo), MAN 50311 (Fig. color 9)

Caja de sarcófago de mármol completa, descubierta *in situ* hacia 1871 en la cripta de un mausoleo tardorromano, ingresando en 1881 en el MAN. Datada entre finales del siglo IV e inicios del V d.C., muestra en el frente la escena de la *Traditio Legis* con Cristo sentado en una *catbedra*, flanqueado por los doce apóstoles de pie, conservándose algunas de sus inscripciones identificativas. Las características formales de la pieza hacen posible plantear que estamos ante una pieza obrada por un taller local hispánico que, sin desconocer las obras

²⁷ Dimensiones (en cm): 15,5 alto, 13,5 ancho, 7 grosor. Expediente de ingreso MAN 1948/54. Inédito.

²⁸ Rodà et alii 2016: 17-19, muestra MDR-1133.

de taller romano con iconografía afín, aporta ciertas novedades que reflejan un influjo de las pautas propias de la plástica constantinopolitana de época teodosiana. En referencia a su material y en fecha anterior a los recientes análisis arqueométricos, ha sido frecuente la hipótesis de plantear que el mármol de la pieza pudiera proceder de las canteras de Estremoz (Portugal)²⁹.

Caracterización arqueométrica³⁰: mármol blanco/blanco anaranjado, buena cristalización y cierta translucidez. Presenta grano medio/fino, con un máximo grosor del grano de 1,8 mm, siendo 0,6 mm la medida media más común de los cristales. Éstos presentan cierta orientación (especialmente los más grandes) con pequeños cristales redondos de cuarzo entre los contactos, y pequeños cristales subidiomorfos de mica blanca y dolomita. La luminiscencia es homogénea, de intensidad media/alta. Presenta un valor isotópico positivo de 2,02‰ en $\delta^{13}\text{C}$ y un valor negativo de -5,36‰ en $\delta^{18}\text{O}$, valores compatibles con las señales isotópicas del mármol de las canteras de Estremoz (Portugal), Pentélico (Grecia) y *Docimium* (Afyon, Turquía). Sus características petrográficas y su luminiscencia coinciden únicamente con las propias del mármol de Estremoz, por lo que se ha podido concluir que el mármol procede del anticlinal de Estremoz, pudiendo descartar su origen en otras canteras del mismo afloramiento marmóreo como las de Almadén de la Plata³¹.

2.10.- Fragmento de sarcófago de Alcaudete (Jaén), MAN 50309 (Fig. color 10)

Fragmento del frente de un sarcófago de piedra caliza, hallado en Alcaudete, formando parte de la colección de Manuel de Góngora y Martínez, desde la que ingresa en el MAN en 1871, al ser adquirida dicha colección. El frente se decora en dos registros superpuestos, mostrando en el superior la resurrección de Lázaro y posible escena de Cristo y la hemorroisa o Cristo y María Magdalena y en el inferior, de derecha a izquierda, Daniel en el foso de los leones, David degollando a Goliat y dos grupos de soldados -filisteos e israelitas-. La pieza refleja claramente una factura de carácter local, si bien, es deudora de los parámetros compositivos e iconográficos de los sarcófagos romanos del siglo IV d.C. Se ha puesto en relación con otras piezas de taller bético de similares características, entre las que destaca el sarcófago de Écija

²⁹ Dimensiones (en cm): 70 alto, 220 ancho, 85 grosor. Expediente de ingreso MAN 1881/15. Vidal 2005: 52-58, nº B8, con la bibliografía anterior (espec. Schlunk 1966); Vidal 2008: 273-278; Id. 2016: 198-202.

³⁰ Rodà et alii 2012, muestra PBN-0740; Álvarez et alii 2015: 5, muestra PBN-0740. Dichos resultados han sido ya dados a conocer en Vidal 2016: 198-202; Vidal García-Entero y Gutiérrez 2017.

³¹ Agradecemos de nuevo los valiosos comentarios y conclusiones al respecto formuladas por la Profa. P. Lapuente.

(Sevilla). Sus características formales, situarían la pieza en un momento tardío dentro de dicho grupo bético, siendo plausible datarla hacia finales del siglo V d.C.³².

Caracterización arqueométrica³³: piedra caliza oolítica de color blanco claro, de composición calcítica, compuesta mayoritariamente por ooides, granos no esqueléticos esféricos y concéntricos de tamaño dispar (en la muestra no superan 1 mm) que, en este caso, recubren ocasionalmente una placa de crinoide. cortoides, agregados de granos y fragmentos esqueléticos de equinodermos. La fábrica de la roca se caracteriza por el predominio de una matriz pseudoesparítica y de cemento sintaxial calcítico formado como recrecimiento de granos esqueléticos de equinodermos. La catodoluminiscencia es heterogénea en función de los diferentes componentes de la roca, así la matriz, débilmente recristalizada a micropseudoesparita, presenta una luminiscencia variable de cristal a cristal, entre sus contactos, de tonalidades rojizo-anaranjadas de intensidad entre débil y media. Solo el cemento sintaxial muestra una zonación marcada por una luminiscencia anaranjada alrededor del contorno de los granos esqueléticos de equinodermos. Esta matriz abigarrada remarca los oolitos de tonalidad mucho más homogénea, oscura y con una intensidad muy débil.

Teniendo en cuenta la procedencia andaluza de la pieza, se comprueba que la caracterización geológica de su material coincide con la de las calizas de la Formación Camarena de Cabra (Córdoba) –a unos 45 km de Alcaudete- o de las Formaciones Endrinal y Torcal de El Torcal de Antequera (Málaga) –a unos 120 km de Alcaudete-, que presentan un aspecto semejante. La mayor cercanía con respecto a los afloramientos de caliza de Cabra, podría ser un aspecto importante a la hora de precisar la procedencia del material del sarcófago de Alcaudete, pieza para la que, desde un punto de vista escultórico, nunca se ha negado su carácter de sarcófago de producción local.

III. Consideraciones finales

A modo de síntesis, podemos concluir que los mármoles empleados en la elaboración de las diez piezas analizadas se agrupan en tres grandes grupos, correspondientes a los materiales importados -siempre mármoles-, y los

³² Dimensiones (en cm): 56 alto, 125 ancho, 5 grosor. Expediente de ingreso MAN 1971/19-A. Vidal 2005: 62-64, n° B11, con la bibliografía anterior (espec. Schlunk 1962: 132-145); Beltrán, García y Rodríguez 2007: 186-187, n° 56.

³³ Rodà et alii 2016: 29-31, muestra MDR-1136.

materiales peninsulares, entre los que encontramos tanto mármol como piedra caliza.

Mármoles Importados

Como hemos visto, la presencia de mármoles importados en el conjunto de sarcófagos analizados del MAN se corresponde con las producciones que tradicionalmente se han vinculado a los talleres escultóricos de la ciudad de Roma. Se trata de los mármoles de Carrara, Paros y Proconeso, lo que supone un buen reflejo de las variedades marmóreas preferentemente trabajadas por los dichos talleres y para los que, como hemos advertido, está también constatado su empleo en ejemplares afines de la península Ibérica, que también han sido objeto de análisis arqueométricos (*vid supra*).

El mármol de Luni-Carrara, extraído principalmente de las canteras situadas en los valles de Torano, Miseglia y Colonnata (Toscana, Italia), cuya explotación y uso alcanzan su cénit en época altoimperial, llega regularmente a las costas de *Hispania* a partir de época augustea (Gutiérrez García y Rodà 2012). Por su parte, el mármol de la Isla de Paros (Grecia), en la variedad detectada Paros-2 (3), de grano medio/grueso, procede de las canteras de Lefkes en el valle de Chorodaki (Paros-2) y en las canteras de Aghias Minas, junto a Marathi (Paros-3), fue explotado profusamente a lo largo de toda la Antigüedad, llegando a la península Ibérica de manera frecuente en época altoimperial (German *et alii* 1988). Del mármol Proconeso, procedente de las canteras de la Isla de Mármara (Turquía), se ha detectado la variedad Proconeso-1, procedente de los distritos de Saraylar y Kavala (Attanasio *et alii* 2008). Explotado igualmente en toda la Antigüedad, su presencia en *Hispania* se hace habitual desde época altoimperial, siendo uno de los mármoles más profusamente empleados para la elaboración de sarcófagos (Ward-Perkins 1992; Koch 1993: 11-19).

Mármoles peninsulares

Como hemos observado, para las piezas del MAN se constata el uso del mármol peninsular en un caso, el sarcófago de Pueblanueva, obrado en mármol procedente de las canteras del Anticlinal de Estemoz (Évora, Portugal). A partir de la información disponible, el uso de este mármol por los talleres locales de escultura de los siglos IV-V d.C., establece un importante vínculo entre las actividades y uso de dicho mármol propias del periodo romano altoimperial³⁴, con las que han podido ser constatadas varios siglos más tarde, en época visigoda, durante los siglos VI y VII, principalmente centradas en la escultura litúrgica elaborada por los talleres de *Emerita*³⁵.

³⁴ Lapuente 1999; Lapuente y Turi 2000; Lapuente et alii 1999; Lapuente, Turi y Blanc 2000; Lapuente y Blanc 2002.

³⁵ Cruz Villalón 2015, con la bibliografía anterior.

En este punto, hemos de tener en cuenta la serie de análisis realizada a diversas piezas de los siglos IV-V d.C., para las que hemos podido constatar el empleo del mármol de Estremoz, demostrando así el extendido uso de este material entre los talleres hispánicos de este momento. Entre las mismas, encontramos piezas muy significativas como la cubierta de sarcófago de Jonás hallada en Carranque (Toledo) y otros fragmentos de sarcófago de este mismo yacimiento, la cubierta de sarcófago de *Ithacius* de la Catedral de Oviedo, o los relieves del Palacio de Revillagigedo de Gijón³⁶. No obstante, posteriores análisis nos ayudarán a completar el panorama parcial que todavía poseemos, permitiéndonos alcanzar conclusiones más sólidas sobre el uso del mármol de Estremoz por los talleres escultóricos de la *Hispania* tardoantigua, así como el porcentaje real del uso de este material comparado con el de otros mármoles, tanto peninsulares como importados.

Calizas peninsulares

Como hemos visto, en este caso contamos con un único ejemplar en piedra caliza local, el sarcófago de Alcaudete, cuya procedencia, a partir de los análisis, parece plausible relacionar con los afloramientos de calizas de la cordillera Subbética, en concreto los de Cabra y Torcal de Antequera.

Sin duda, sería sumamente revelador poder contar con datos analíticos para el resto de piezas del taller bético con las que se ha relacionado el sarcófago de Alcaudete, entre los que ocupa un lugar especial el mencionado sarcófago de Écija (Sevilla)³⁷ o el, menos conocido, relieve con orantes –escena de los tres hebreos en el horno de Babilonia- del Museo de Santa Cruz de Toledo³⁸.

Recapitulando la información y conclusiones obtenidas a partir de los análisis efectuados a las piezas del MAN, podemos establecer el siguiente cuadro:

Pieza	Nº inv. MAN	Cronología	Taller	Procedencia marmor
Elche	50208	285-310	Romano	Mármol ¿Proconeso?
Astorga	50310	305-315	Romano	Mármol Proconeso
Berja	1929/71/1	320-335	Romano	Mármol Carrara
Frag. Daniel	1997/83/1	315-335	Romano	Mármol ¿Paros 2(3)?
Erustes	1913/51/1	330-340	Romano	Mármol Proconeso
Recópolis 1 (torso)	57846	300-340	Romano	Mármol Paros 2(3)
Recópolis 2 (ovino)	57849	285-330	Romano	Mármol Paros 2(3)
Recópolis 3	1948/54/19	h. 250-350	Romano	Mármol. Incierto
Pueblanueva	50311	370-410	Local	Mármol Estremoz
Alcaudete	50309	460-500	Local	Caliza ¿Cabra?

³⁶ Vidal, García-Entero y Gutiérrez 2017. A las piezas señaladas, creemos, podrían unirse ejemplares como el fragmento de cubierta de sarcófago con escena de banquete del Museo Nacional de Arte Romano de Mérida (Vidal 2005: 73-76, nº B18, con la bibliografía anterior), cuya caracterización arqueométrica esperamos poder acometer en un futuro próximo.

³⁷ Vidal 2005: 65-68, nº B13, con la bibliografía anterior (espec. Schlunk 1962: 122-132); Beltrán, García García y Rodríguez 2007: 194-197, nº 62.

³⁸ Museo de Santa Cruz de Toledo, nº inv. CE21621, muy poco estudiado hasta el momento (Revuelta 1983: 8; Cortés y Ocaña 2007) y para el que sería igualmente interesante poder analizar su material. Contrariamente a la interpretación iconográfica formulada hasta el momento que habla de “dos figuras orantes, una de ellas incompleta, tres árboles y a la derecha un pez [...] tal vez podría tratarse de una escena alusiva a la imposición de manos, probablemente relacionada con la administración del bautismo” (Cortés y Ocaña 2007), consideramos que el relieve representa la escena de los tres hebreos en el horno de Babilonia. Por otra parte, podemos advertir que tanto el tipo de talla en dos planos, la construcción de las figuras y rostros, las indumentarias, así como el detalle del listón liso que recorre la parte superior, vinculan claramente este relieve al grupo bético. Procede del comercio de antigüedades, por lo que su lugar de procedencia es desconocido (agradezco a F. Fontes Blanco, Director del Museo de Santa Cruz, el haberme facilitado la información relativa a la procedencia de la pieza).

Bibliografía

- Àlvarez *et alii* 2015: Informe de los análisis de isótopos estables de un conjunto de sarcófagos de Hispania, Tarragona (informe inédito ICAC).
- Attanasio, D., Brilli, M. y Bruno, M. 2008: “The properties and identification of marble from Proconnesos (Marmara Island, Turkey): A new database including isotopic, EPR and petrographic data”, *Archaeometry* 50.5, 747–774.
- Balmaseda, L. 2006a: “Sarcófago (frag.)”, *Recópolis: un paseo por la ciudad visigoda*, Madrid, 121.
- Balmaseda, L. 2006b: “Sarcófago (frag.)”, *Recópolis: un paseo por la ciudad visigoda*, Madrid, 122.
- Beltrán, J., García García, M.A. y Rodríguez, P. 2007: *Los sarcófagos romanos de Andalucía. Corpus Signorum Imperii Romani – España*, Murcia.
- Briesenick, H. 1962: “Typologie und Chronologie der Südwestgallischen Sarkophage”, *Jahrbuch des Römisch-Germanischen Zentralmuseums Mainz* 9, 76-182.
- Carriazo, J.M. 1925: “Un sarcófago cristiano de Berja”, *Archivo Español de Arte y Arqueología* I, 197-218.
- Christern-Briesenick B. 2003: *Frankreich, Algerien und Tunesien. Repertorium der christlich-antiken Sarkophage III*, Mainz am Rhein.
- Claveria M., Moro A. y Rodà I. 2008: “Sarcófagos hallados en las recientes excavaciones de Sant Pere de Terrassa (Egara, Barcelona)”, *Le due patrie acquisite. Studi di archeologia dedicati a Walter Trillmich*, Roma, 129-147.
- Cortés, S. y Ocaña, E. 2007: “Relieve con orantes”, *Hispania Gothorum: San Ildefonso y el reino visigodo de Toledo*, Toledo, 439.
- Cabanot, J. y Costedoat, C. 1993: “Recherches sur l’origine du marbre blanc utilisé pour les chapiteaux et les sarcophages de l’antiquité tardive et du haut moyen âge conservés dans la région aquitaine”, *Aquitania* 11, 189-232.
- Cruz Villalón M. 2015: “The use of marble in Lusitania between Rome and Islam”, *ASMOSIA 10* (Roma, 2012), Roma, 85-92.
- Ewald, B.C. 1999: *Der Philosoph als Leitbild. Ikonographische Untersuchungen an römischen Sarkophagreliefs*, Mainz am Rhein.
- Fernández Ochoa C., Bendala M., García-Entero V. y Vidal S. 2011: “Cubierta de sarcófago con el ciclo de Jonás hallada en Carranque (Toledo)”, *Archivo Español de Arqueología* 84, 231-242.
- Gaggadis-Robin, V. 2000: “L’importance de l’analyse des matériaux pour l’étude des sarcophages de la Gaule Narbonnaise”, *Revue Archéologique de Narbonnaise* 33, 280-285.
- García-Entero V. y Vidal S. 2012: “El uso del marmor en el yacimiento de Carranque (Toledo)”, *El marmor en Hispania. Explotación, uso y difusión en época romana*, Madrid, 133-152.
- Germann, K.; Gruben, G.; Knoll, H.; Valis, V.; Winkler, F. J. 1988: “Provenance characteristics of Cycladic (Paros and Naxos) marbles. A multivariate geological approach”, *ASMOSIA I* (Luca 1988), Boston, 251-262.
- Gonzalez García M.A. 1986: “Datos históricos sobre el sarcófago romano-cristiano de Astorga”, *Actas I Congreso Internacional Astorga Romana*, Astorga, 245-255.
- Gutiérrez Garcia-M., A. y Rodà, I. 2012: “El mármol de Luni-Carrara en la fachada mediterránea de Hispania”, *Rome, Portus and the Mediterranean, Archaeological Monographs of The British School at Rome* 21, London, 293-312.
- Immerzeel, M. y Jogste, P. 1994: “Les ateliers de sarcophages paleochrétiens en Gaule la Provence et les Pyrenees”, *Antiquité Tardive* 2, 233-249.
- Koch, G. 1993: *Sarkophage der römischen Kaiserzeit*, Darmstadt.
- Koch, G. 2000: *Frühchristliche Sarkophage*, München.
- Lapuenta, P. 1999: “Problemas petrográficos en la identificación de mármoles clásicos. Diferenciación de Carrara y Borba”, *Caesaraugusta* 73, 279-288.
- Lapuenta, P. y Blanc, Ph. 2002: “Marbles from Hispania: scientific approach based on Cathodoluminescence”, *Interdisciplinary studies on ancient stones*, London, 143-151.

- Lapuente, P., Turi, B., Lazzarini, L. y Mostalac, A. 1996: "Provenance determination of marbles of three Paleochristian Sarcophagi from Aragon (Spain)", 29th International Symposium on Archaeometry, Ankara, 127-132.
- Lapuente, P., Lazzarini, L., Turi, B. y Nogales T. 1999: "Provenance investigation of the white marble sculptures from Augusta Emerita, Hispania", *Archéomateriaux. Marbles et autres roches*, Bordeaux, 111-116.
- Lapuente, P., Turi, B. y Blanc, Ph. 2000: "Marbles from Roman Hispania: stable isotope and cathodoluminescence characterization", *Applied Geochemistry* 15, 1469-1493.
- Martínez de Castro, J.A. 1925: Sarcófago romano cristiano en Berja: noticia comunicada a las Reales Academias de la Historia y de Bellas Artes de San Fernando, Almería.
- Noguera, J.M. y Verdú, V. 1993-94: "Esculturas y elementos esculpidos ilicitanos, de la antigua colección Ibarra, en el Museo Arqueológico Nacional", *Anales de Prehistoria y Arqueología* 9-10, 269-284.
- Noguera, J.M. y Molina, M.A. 2015: "Nuevo fragmento de sarcófago paleocristiano procedente de Begastri (Cehegín, Murcia)", *Madrider Mitteilungen* 56, 377-401.
- Oepen, A. 2001: "Rasgos generales del sarcófago paleocristiano en Hispania. Bases para la redacción de un primer corpus", *El sarcófago romano. Contribuciones al estudio de su tipología, iconografía y centros de producción*, Murcia, 257-272.
- Palol, P. de 1994: "Arte paleocristiano", *Historia del arte de Castilla y León*, vol. I, Valladolid, 103-124.
- Pulchra Imago (AA.VV.) 1991: *Pulchra Imago. Fragments d'archéologie Chrétienne* (Saint-Bertrand-de-Comminges 1991), Toulouse.
- Revuelta, M. 1983: Exposición de Bellas Artes 83 en el Museo de Santa Cruz. Madrid.
- Rodà, I. 1990: "I Sarcophagi della Bottega di Cartagine a Tarraco", *L'Africa Romana*, II, 727-736.
- Rodà, I. 1998: "Sarcófagos cristianos en Tarragona", *Akten des Symposiums »125 Jahre Sarkophag-Corpus«* (Marburg, 1995), Mainz am Rhein, 150-161.

- Rodà, I. 2002: "Los sarcófagos cristianos de Barcino y su material", *Akten des Symposiums »Frühchristliche Sarkophage«*, Mainz am Rhein, 179-186.
- Rodà et alii 2012: Análisis de una muestra de mármol del sarcófago de las Vegas de Pueblanueva (Toledo), Tarragona (informe inédito ICAC).
- Rodà et alii 2016: Informe del análisis de diez muestras líticas de diversas procedencias depositadas en el Museo Arqueológico Nacional - MAN (Madrid), Tarragona (informe inédito ICAC).
- Sarcophages d'Aquitaine (AA.VV.) 1991: *Les sarcophages d'Aquitaine* (actes du colloque), en: *Antiquité Tardive* 1, 9-169.
- Schlunk, H. 1962: "Die Sarkophage von Ecija und Alcaudete", *Madrider Mitteilungen* 3, 119-151.
- Schlunk, H. 1966: "Der Sarkophag von Puebla Nueva (Prov. Toledo)", *Madrider Mitteilungen* 7, 210-231.
- Sotomayor, M. 1973: Datos históricos sobre los sarcófagos romano-cristianos de España, Granada.
- Sotomayor, M. 1975: Sarcófagos romano-cristianos de España. Estudio iconográfico, Granada.
- Vázquez de Parga, L. 1967: "Studien zu Recopolis 3. Die archäologische Funde", *Madrider Mitteilungen* 8, 259-280.
- Vidal, S. 2005: *La Escultura figurada hispánica de la Antigüedad Tardía* (siglos IV-VII). *Corpus Signorum Imperii Romani – España*, Murcia.
- Vidal, S. 2007: "Nuevos datos para el estudio de la producción de sarcófagos del noroeste de la Península Ibérica entre los siglos IV-VI: el sarcófago de Portosín (A Coruña) y los relieves de Gijón (Asturias)", *Symposium des Sarkophag-Corpus* (Marburg 2001), Mainz am Rhein, 215-231.
- Vidal, S. 2008: "La escultura funeraria tardorromana de la provincia de Toledo: nuevas aportaciones para su estudio", *V Reunión de Escultura Romana en Hispania*, Murcia, 247-281.

- Vidal, S. 2016: “Análisis petrográficos del Sarcófago de Pueblanueva (Toledo) y estudio de cinco fragmentos de Pueblanueva en las colecciones del M.A.N.”, *Boletín del Museo Arqueológico Nacional* 34, 197-212.
- Vidal, S. y García-Entero V. 2015: “The use of Estremoz marble in Late Antique Sculpture of Hispania: new data from the petrographic and cathodoluminescence analyses”, *ASMOSIA 10* (Roma, 2012), Roma, 413-420.
- Vidal, S., García-Entero, V. y Gutiérrez, A., 2017: “La utilización del mármol de Estremoz (Portugal) en la escultura tardorromana: los sarcófagos”, *digitAR - Revista Digital de Arqueología, Arquitectura e Artes* 4, 119-128.
- Ward-Perkins, J.B. 1992: “The trade in Sarcophagi”, *Marble in Antiquity, collected papers of J.B. Ward-Perkins, Archaeological Monographs of the British School at Rome* 6, London, 31–37.

Immagini e iscrizioni. Le stele di legionari e ausiliari nelle province romane

Henner von Hesberg
Deutsches Archäologisches Institut

Nelle province romane i monumenti in pietra forniscono una vasta gamma di informazioni su processi molto diversi¹. Essi sono assunti sotto la nozione discussa in modo molto controverso della Romanizzazione². Persone con forme di vita eterogenee vengono in contatto fra loro. Si scambiano e fissano idee tramite il linguaggio e le immagini. Questo processo di comunicazione include molte aree, dal linguaggio delle espressioni del corpo fino a immagini teatrali effimere, per dare solo alcuni esempi. I cambiamenti includono inoltre abitudini alimentari, abbigliamento e forme di organizzazione economica e politica.

Nelle province del Nord-Ovest, il potere dell'impero romano sembra dominare queste vie di comunicazione. Il latino diventa la lingua dominante³. Per la prima volta nella regione si sono formate immagini sulla base dei modelli mediterranei. Lo stesso vale per il modo di nutrirsi e vestirsi e per l'organizzazione economica e sociale, con tutte le conseguenze per la vita nelle città e nelle campagne. Anche se è difficile valutarlo, sulla base delle esperienze moderne, per gran parte della popolazione deve essere stato un processo traumatico.

Esistono in abbondanza singoli studi sulla storia della cultura materiale. Ma in queste analisi, le forme di comunicazione e le potenze dei rispettivi media erano in misura minore al centro dell'attenzione⁴. D'altra parte, il rapporto tra testo

¹ Ringrazio per aiuti, discussioni e foto: Jörn Lang, Janine Lehmann, Alessandra Menegazzi, Ellen Riemer e Francesca Veronese e per le correzioni del mio testo Fedora Filippi.

² Slofstra 1983: 71-104; Millet 1990; Woolf 1998; Schörner 2005.

³ Untermann 1995: 73-92.

⁴ Una eccezione fanno i lavori di Valerie Hope, ma accentuano più l'uso dei media in generale che le loro differenze nelle qualità comunicative: Hope 1996: 245-258; Hope 2000: 155-185.



Fig. 5. Statua loricata dall'Augusteum di Roselle, Museo Archeologico e d'Arte della Maremma a Grosseto (foto P. Liverani).

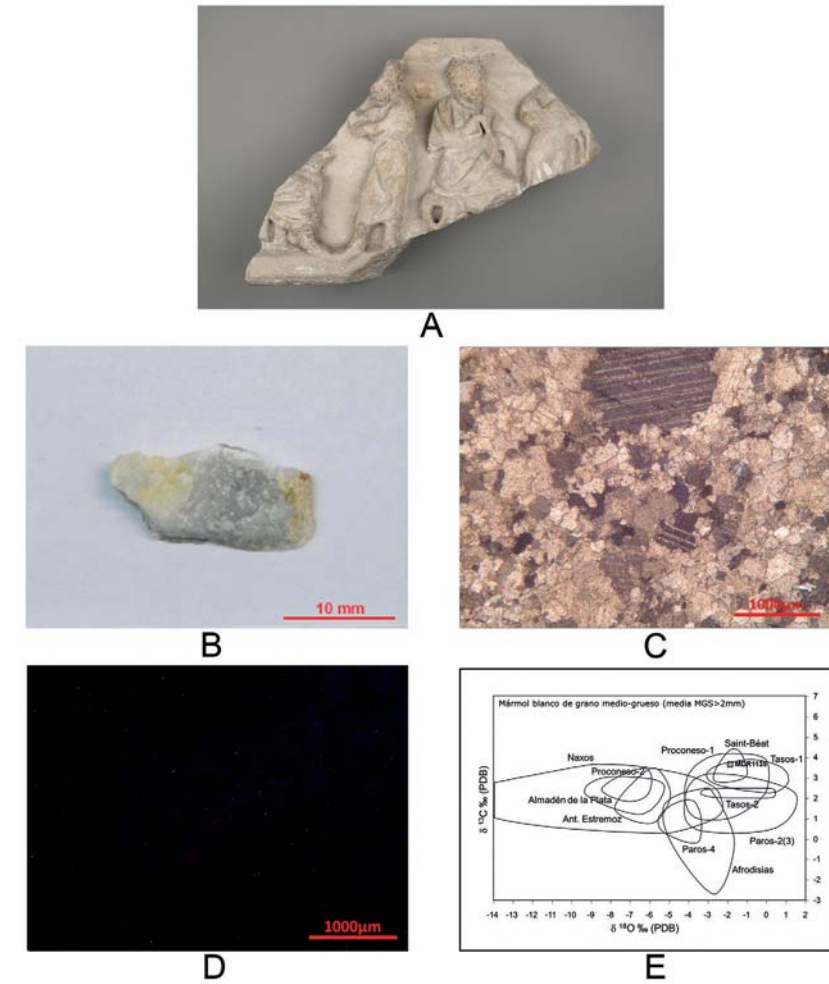


Fig. 1. A: Fragmento de sarcófago de Elche (Alicante) (foto MAN / P. Elena Suárez). B: Muestra (foto ICAC). C: Lámina delgada (foto ICAC). D: Catodoluminiscencia (foto ICAC). E: Valores isotópicos (ICAC).

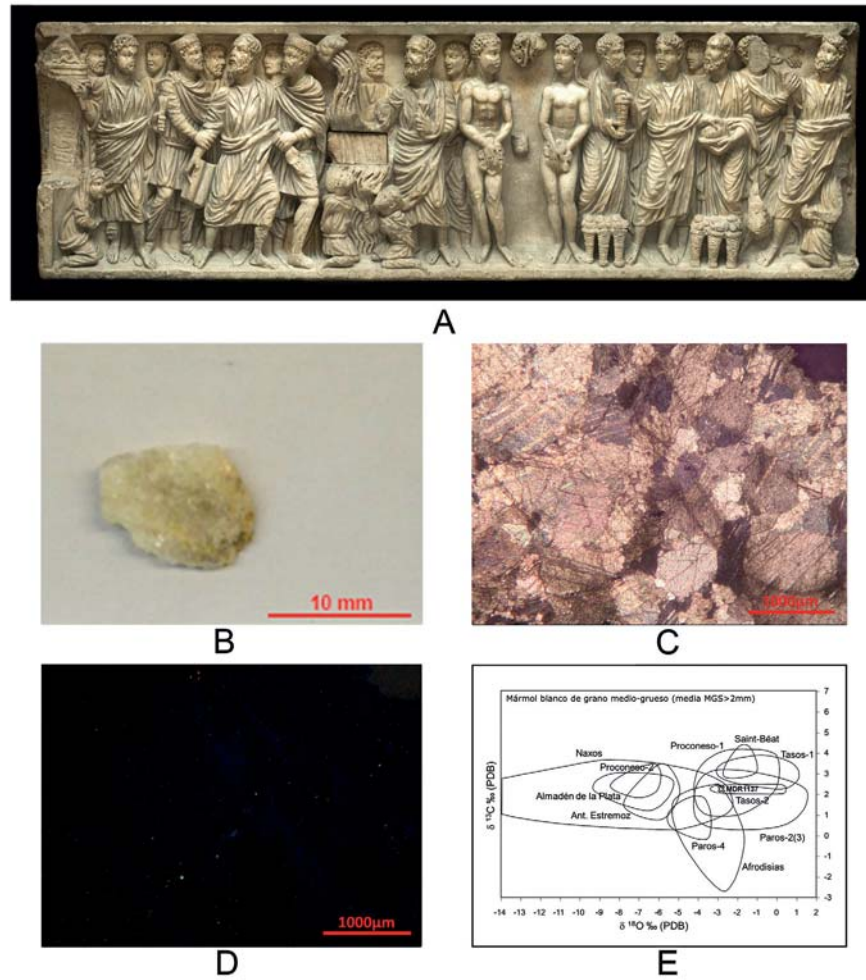


Fig. 2. A: Sarcófago de Astorga (León) (foto MAN / S. Relanzón). B: Muestra. C: Lámina delgada (foto ICAC). D: Catodoluminiscencia (foto ICAC). E: Valores isotópicos (ICAC).

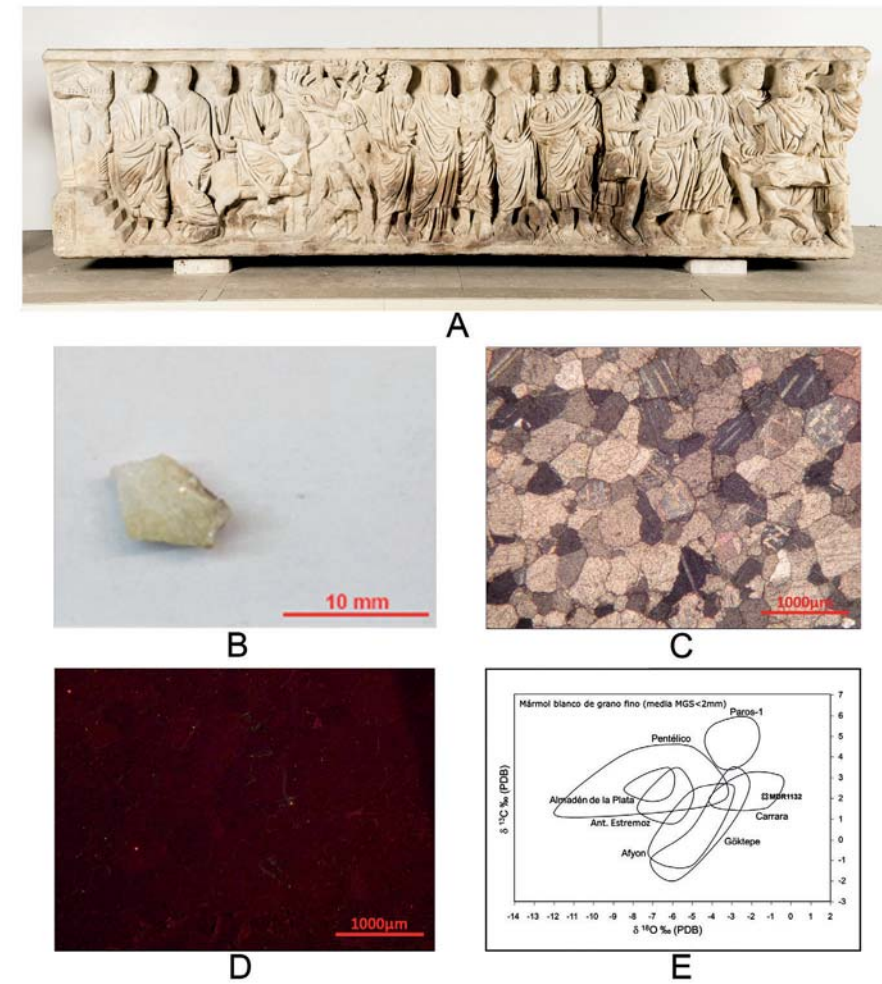


Fig. 3. A: Sarcófago de Berja (Almería) (foto MAN / A. Martínez Levas). B: Muestra (foto ICAC). C: Lámina delgada (foto ICAC). D: Catodoluminiscencia (foto ICAC). E: Valores isotópicos (ICAC).

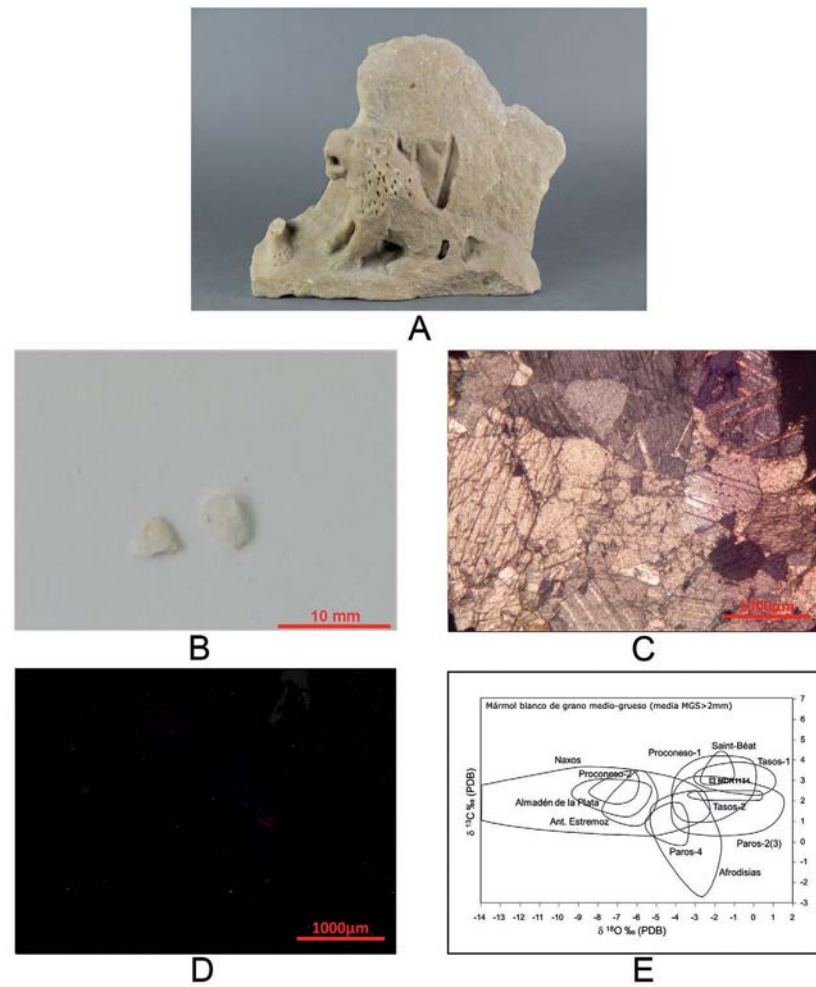


Fig. 4. A: Fragmento de sarcófago con escena de Daniel en el foso de los leones (foto MAN / M.A. Camón Cisneros). B: Muestra (foto ICAC). C: Lámina delgada (foto ICAC). D: Catodoluminiscencia (foto ICAC). E: Valores isotópicos (ICAC).

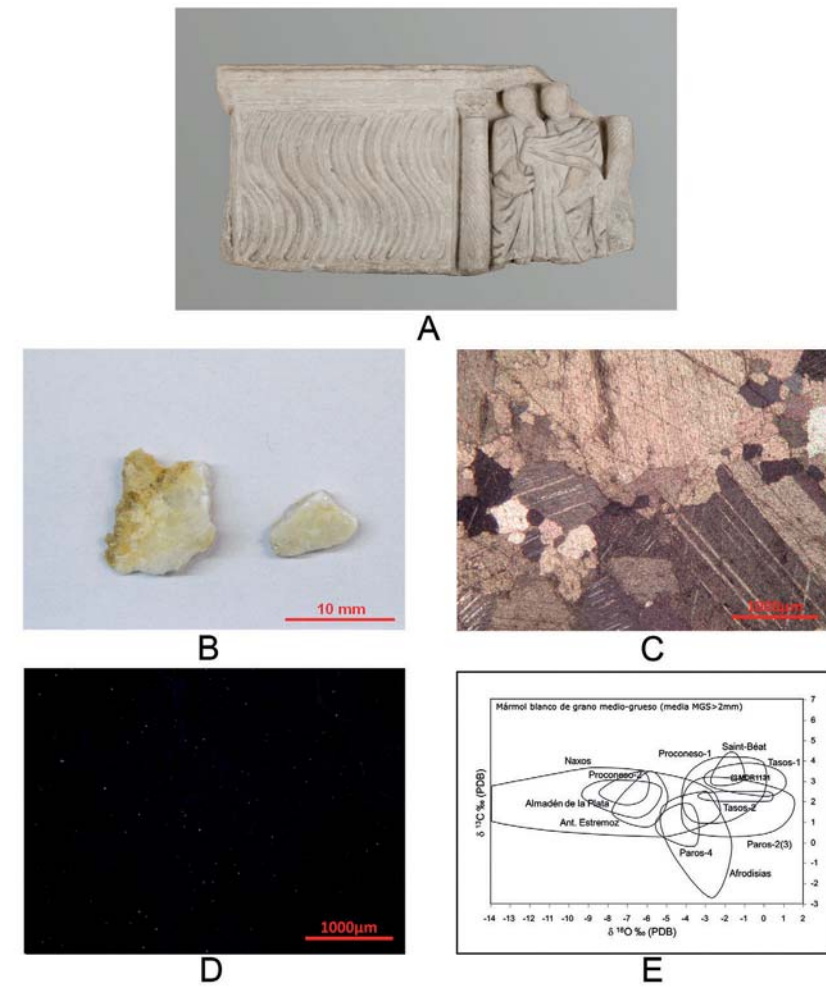


Fig. 5. A: Sarcófago de Erustes (Toledo) (foto MAN / P. Elena Suárez). B: Muestra (foto ICAC). C: Lámina delgada (foto ICAC). D: Catodoluminiscencia (foto ICAC). E: Valores isotópicos (ICAC).

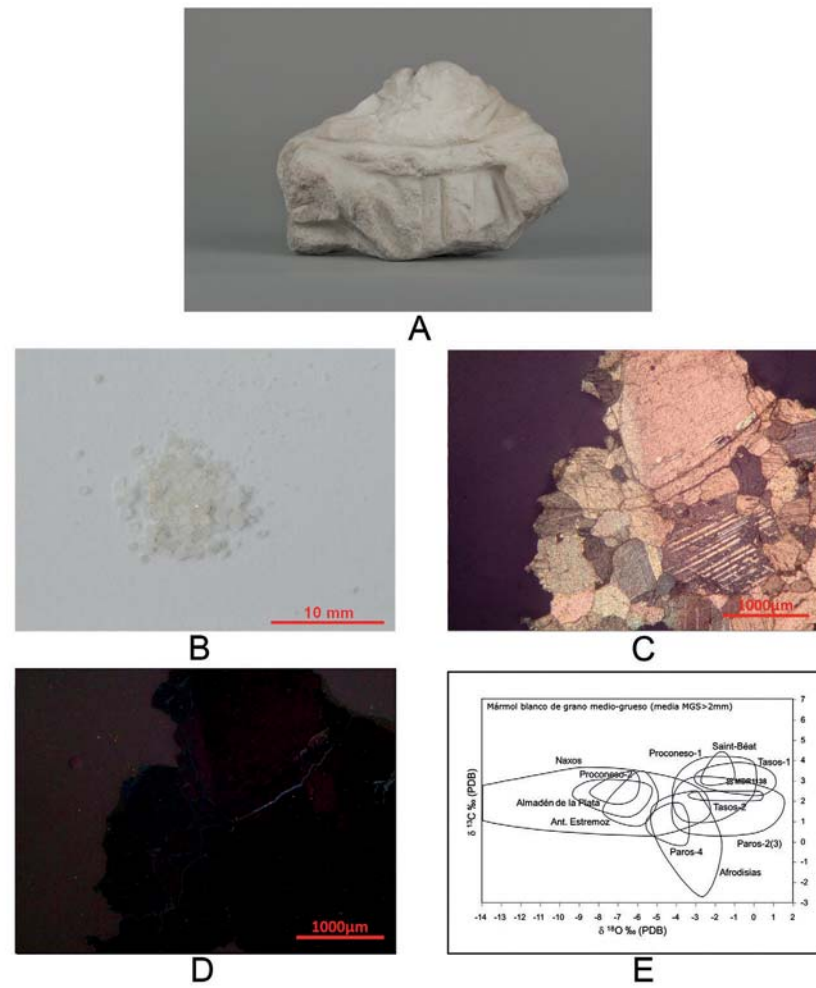


Fig. 6. A: Fragmento de sarcófago de Recópolis (Guadalajara) con torso (foto MAN / P. Elena Suárez). B: Muestra (foto ICAC). C: Lámina delgada (foto ICAC). D: Catodoluminiscencia (foto ICAC). E: Valores isotópicos (ICAC).

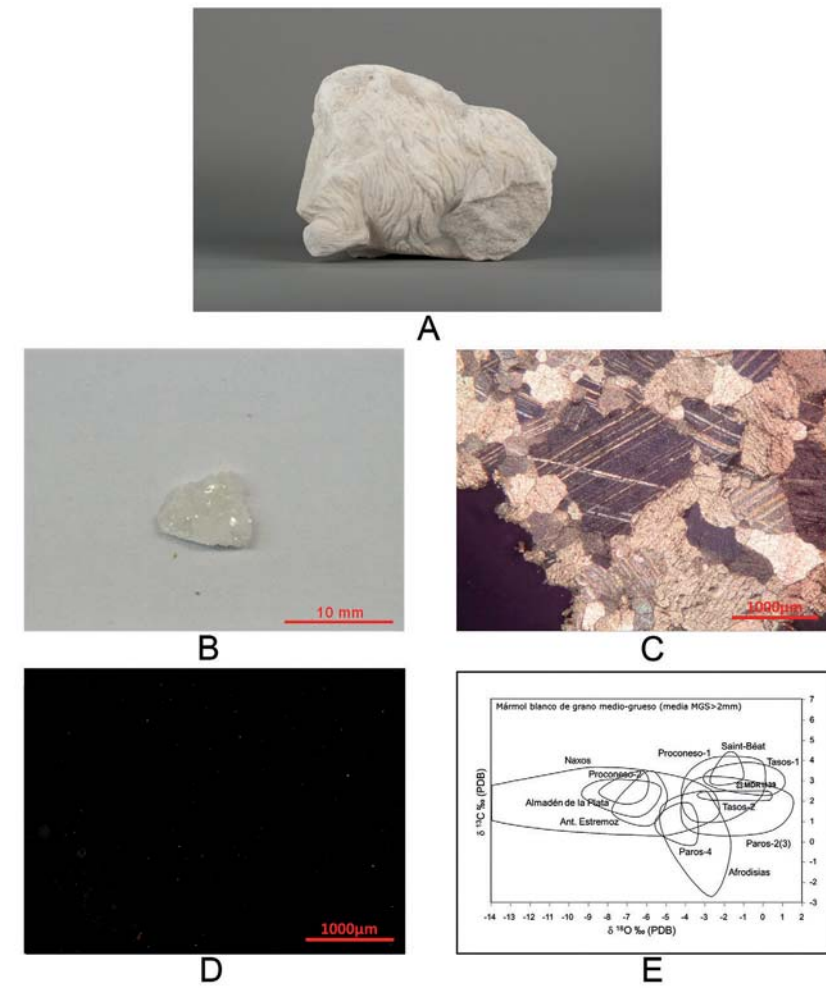


Fig. 7. A: Fragmento de sarcófago de Recópolis (Guadalajara) con ovino (foto MAN / P. Elena Suárez). B: Muestra (foto ICAC). C: Lámina delgada (foto ICAC). D: Catodoluminiscencia (foto ICAC). E: Valores isotópicos (ICAC).

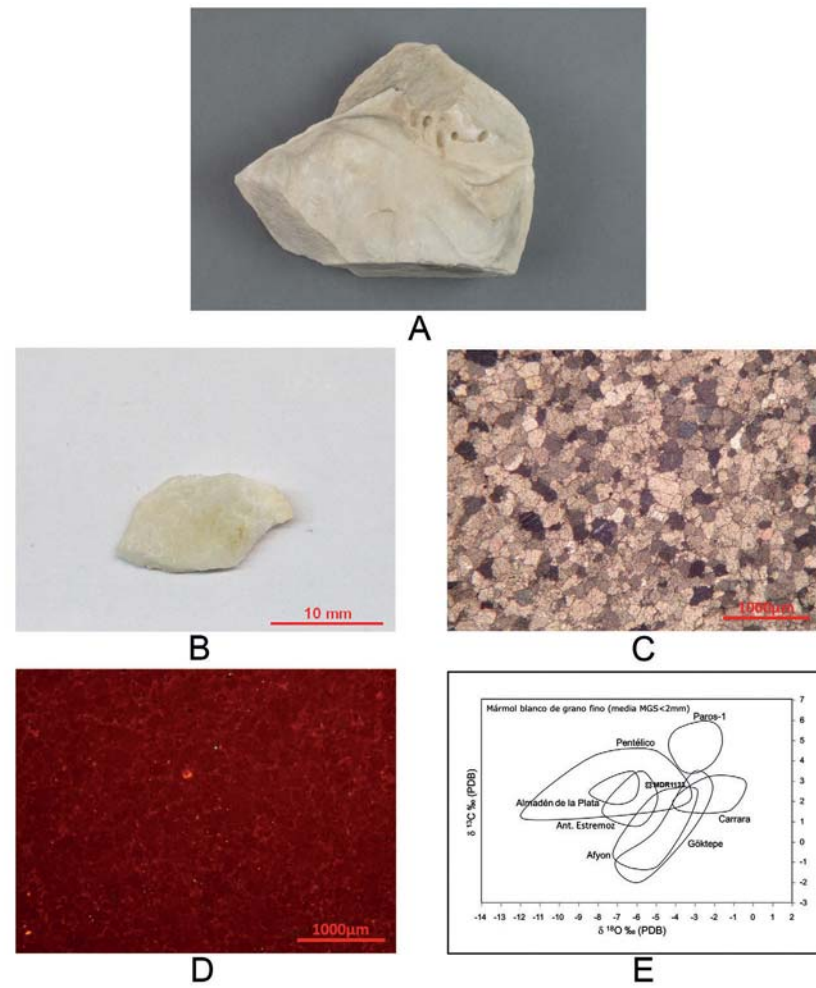


Fig. 8. A: Fragmento de sarcófago de Recópolis (Guadalajara) (foto MAN / M.A. Camón Cisneros). B: Muestra (foto ICAC). C: Lámina delgada (foto ICAC). D: Catodoluminiscencia (foto ICAC). E: Valores isotópicos (ICAC).

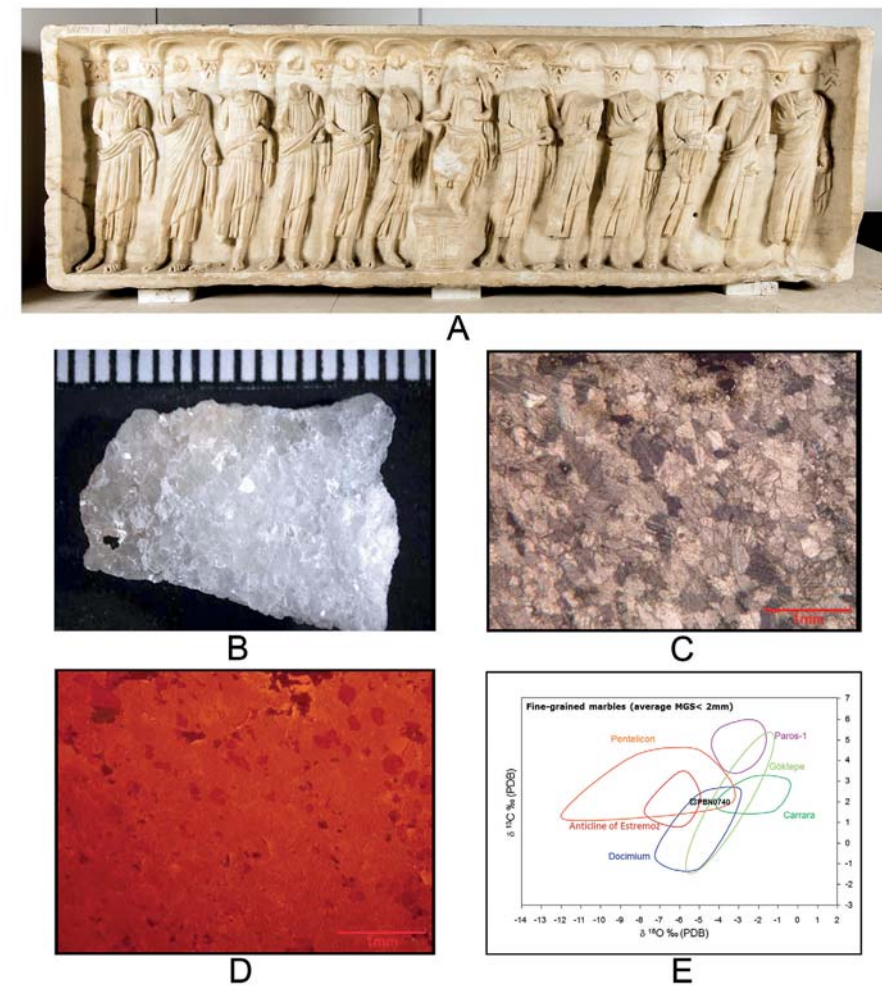


Fig. 9. A: Sarcófago de Pueblanueva (Toledo) (foto MAN / A. Martínez Levas). B: Muestra (foto ICAC). C: Lámina delgada (foto ICAC). D: Catodoluminiscencia (foto ICAC). E: Valores isotópicos (ICAC).

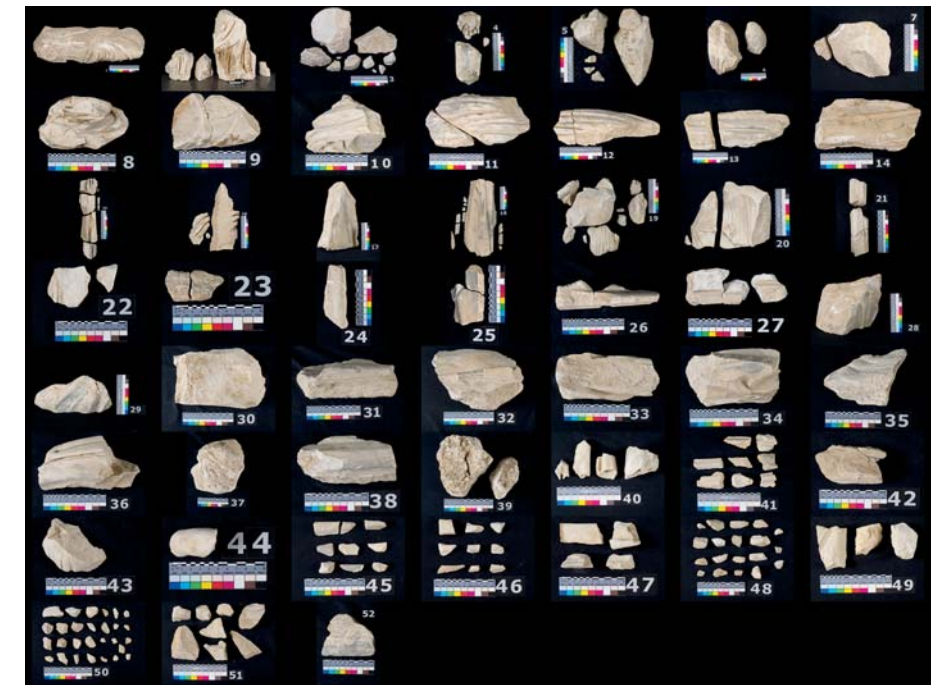
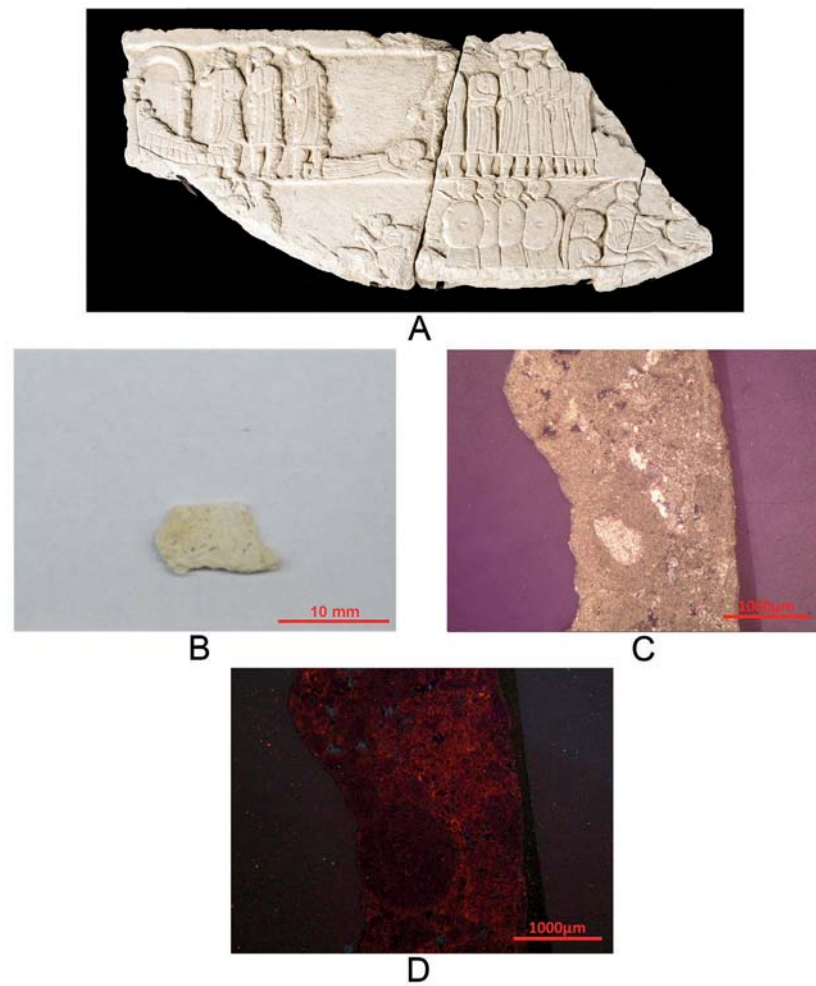


Fig. 10. A: Sarcófago de Alcaudete (Jaén) (foto MAN / A. Martínez Levas). B: Muestra (foto ICAC). C: Lámina delgada (foto ICAC). D: Catodoluminiscencia (foto ICAC).

Fig. 1. Estado inicial. Fragmentos recuperados tras la extracción.